

## دراسة إحصائية لمحددات ظاهرة عالة الأطفال في مصر خلال الفترة (٢٠٠٥-٢٠١٤)

أ.د. عفاف على حسن الدش<sup>\*</sup>  
أميرة السيد إبراهيم<sup>\*</sup>  
د. رشا احمد السيد فرغلي<sup>\*\*</sup>  
د. إيمان سنهوري<sup>\*\*\*</sup>

### ملخص:

تعتبر عالة الأطفال من أهم المشاكل التي تعاني منها الدول النامية بشكل يمثل خطورة على المجتمع ومن بينها مصر. ويهدف هذا البحث إلى تقديم دراسة إحصائية تحليلية لعالة الأطفال في مصر وفقاً للتوزيع الجغرافي (ريف - حضر) والنوع (ذكور - إناث) خلال الفترة (٢٠٠٥-٢٠١٤).

ويهدف البحث إلى دراسة تطور معدلات عالة الأطفال خلال الفترة (٢٠٠٥-٢٠١٤) وفقاً للتوزيع الجغرافي (ريف - حضر) والنوع (ذكور - إناث)، ودراسة العلاقة بين معدل عالة الأطفال في مصر وكل محدد من محددات عالة الأطفال التالية كل على حدة: متوسط الدخل السنوي للأسرة الفقيرة، معدل البطالة، متوسط حجم الأسرة، المستوى التعليمي لرب الأسرة، عمر الطفل وفقاً للتوزيع الجغرافي (ريف - حضر).

ثم دراسة العلاقة بين معدل عالة الأطفال في مصر وهذه المحددات معًا من خلال اقتراح نموذج انحدار أسي متعدد يمثل العلاقة بين معدل عالة الأطفال وهذه المحددات معًا، وتحديد تأثير الارتباط الذاتي بين تلك المحددات على معدل عالة الأطفال خلال فترة الدراسة معالجة أثر هذا الارتباط باستخدام أسلوب انحدار الثل.

واعتمدت الدراسة على بيانات مسوح العالة بالعينة التي يصدرها الجهاز المركزي للتعبئة العامة والإحصاء في مصر خلال الفترة (٢٠٠٥-٢٠١٤)، والتي أشتملت على بيانات عن إجمالي الأطفال في جمهورية مصر العربية بالفئة العمرية (٥-١٧ سنة) وفقاً للعمر والنوع و محل الإقامة، كذلك بيانات عن دخل وحجم الأسر الفقيرة وإجمالي قوة العمل، كذلك أعداد المتعطلين والمستوى التعليمي لرب الأسرة بالنسبة لهذه الأسر.

الكلمات الدالة: عالة الأطفال، مسوح العالة بالعينة، الانحدار الأسي، التداخل الخطى المتعدد، انحدار الثل.

### (١) مقدمة

تعد ظاهرة عالة الأطفال التي تحتل مساحة كبيرة من الاهتمام على المستوى العالمي والإقليمي والمحلى، لما يترتب عليها من آثار اقتصادية وتعليمية واجتماعية وصحية سوء على الأطفال العاملين أو على المجتمع ككل [١، ٨]. وتعتبر هذه الظاهرة من أهم المشاكل التي تعاني منها الدول النامية ومن بينها مصر، وهو الأمر الذي يتطلب بذل المزيد من الجهود لوضع حد لهذه الظاهرة والتقليل من مخاطرها [٦].

ولقد شهدت الدراسات الخاصة بمشكلة عالة الأطفال اهتمام متزايد في العقود الماضيين، وعلى الرغم من هذا الاهتمام المتزايد فما زالت عالة الأطفال تمثل مشكلة كبيرة في الكثير من دول العالم النامية [١٥]، ومن أهم الدراسات التي قدمت لدراسة عالة الأطفال ما يلى::

• في سنة (١٩٩٥) قدمت مى مختار دراسة تهدف إلى التعرف على أهم محددات عالة الأطفال في مصر لكل من الريف والحضر على حدة. وقد استخدمت هذه الدراسة النموذج اللوجيت متعدد الحدود

\* مدرس مساعد بمعهد الجزيرة العالي للحاسب الآلي ونظم المعلومات الإدارية

\*\* أستاذ الإحصاء بكلية التجارة وإدارة الأعمال - جامعة حلوان.

\*\*\* مدرس الإحصاء بكلية التجارة وإدارة الأعمال - جامعة حلوان

للتعرف على تأثير كل محدد (عامل) على احتمال عالة الطفل لكل من الريف والحضر على حدة، بناء على بيانات مسح العمالة بالعينة عام ١٩٨٨ في مصر.

▪ وفي سنة (١٩٩٧) قدم Psacharopoulos,G. دراسة تهدف إلى تحديد أهم العوامل التي تؤثر في قرار إرسال الطفل إلى العمل، وذلك لاثنين من دول أمريكا اللاتينية (بوليفيا - فنزويلا)، وقد استخدمت هذه الدراسة النموذج اللوجيسي ثانوي الحدود للتعرف على تأثير كل عامل على احتمال عالة الطفل بالاعتماد على بيانات مسح الأسرة لبوليفيا عام ١٩٩٠ وبيانات مسح الأسرة لفنزويلا عام ١٩٩٢.

▪ وفي سنة (١٩٩٨) قدم كل من Burki,A.; Fasih,T. and Din,M. دراسة تهدف إلى التعرف على محددات عالة الأطفال في ولاية البنجاب بباكستان، وقد استخدمت هذه الدراسة النموذج اللوجيسي متعدد الحدود بالاعتماد على بيانات مسح عالة الأطفال عام ١٩٩٦ بباكستان.

▪ وفي سنة (٢٠٠٠) قدم J. Wahba دراسة تهدف إلى التعرف على أهم محددات عالة الأطفال في مصر، وقد استخدمت هذه الدراسة النموذج الاحتمالي للتعرف على تأثير كل محدد على احتمال عالة الطفل بالاعتماد على بيانات مسح العمالة بالعينة عام ١٩٩٨ لمصر.

▪ وفي عام (٢٠٠٢) قدم كلا من مفيد الشامي، وخاتم أبو عطية دراسة تهدف إلى التعرف على أهم الأسباب التي تدفع الطفل إلى العمل في فلسطين، وقد استخدمت هذه الدراسة النموذج اللوجيسي ثانوي الحدود للتعرف على تأثير كل عامل على احتمال عالة الطفل بالاعتماد على بيانات عينة ميدانية.

▪ وفي عام (٢٠٠٦) قدمت Saleh,E.M. دراسة تهدف إلى تحديد أهم المتغيرات التي تؤثر على عالة الأطفال في المحافظات الحضرية بمصر، وقد استخدمت هذه الدراسة نموذج انحدار لوجيسي ثانوي الحدود للتعرف على تأثير كل متغير على احتمال عالة الطفل بالاعتماد على بيانات المسح القومي (٢٠٠١) لعالة الأطفال في مصر.

▪ وفي سنة (٢٠٠٧) قدم Krolikowski, P. M. دراسة تهدف إلى التعرف على محددات عالة الأطفال في غانا، وقد استخدمت هذه الدراسة النموذج الاحتمالي الخطي للتعرف على تأثير كل محدد على احتمال عالة الطفل بالاعتماد على بيانات مسح عالة الأطفال (٢٠٠١) في غانا.

▪ وفي سنة (٢٠٠٨) قدم Hubler, F. دراسة تهدف إلى التعرف على محددات عالة الأطفال لعدد (٣٥) دولة كلاً على حدة، وقد استخدمت هذه الدراسة النموذج الاحتمالي للتعرف على تأثير كل محدد على احتمال عالة الطفل بالاعتماد على بيانات المسح لـ ٣٥ دولة.

▪ وفي سنة (٢٠١١) قدم كل من Awan,M.; Waqas, M. and Aslam, M. دراسة تهدف إلى التعرف على محددات عالة الأطفال في دولة البنجاب بباكستان، وقد استخدمت هذه الدراسة النموذج الاحتمالي للتعرف على تأثير كل محدد على احتمال عالة الطفل بالاعتماد على بيانات المسح متعدد المؤشرات (٢٠٠٨-٢٠٠٧) للبنجاب بباكستان.

▪ وفي سنة (٢٠١٢) قدمت سعاد صلاح دراسة تهدف إلى تحديد أهم العوامل التي تؤدي إلى تعرض الأطفال لأسوأ أشكال العمل في بعض محافظات الوجه القبلي (بني سويف - أسيوط - سوهاج - البحر الأحمر)، وقد استخدمت هذه الدراسة نموذج انحدار لوجيسي ثانوي الحدود للتعرف على تأثير كل عامل على احتمال تعرض الأطفال لأسوأ أشكال العمل بالاعتماد على بيانات بحث التقليم السريع لتحديد أسواء أشكال عمل الأطفال في بني سويف - أسيوط - سوهاج - البحر الأحمر.

## (٢) منهجية البحث

اعتمدت الدراسة في هذا البحث على استخدام أسلوب الانحدار الآسي في متغير واحد لدراسة تطور معدلات عالة الأطفال في مصر خلال الفترة (٢٠٠٥-٢٠١٤) وفقاً للتوزيع الجغرافي (ريف وحضر) ووفقاً للتوزيع النوعي (ذكور وإناث)

وكل ذلك أعتمدت الدراسة على استخدام أسلوب الانحدار الآسي المتعدد في دراسة العلاقة بين معدل عالة الأطفال وكل من المحددات التالية معاً: متوسط دخل الأسرة السنوي، معدل البطالة، متوسط حجم الأسرة، المستوى التعليمي لرب الأسرة، عمر الطفل وفقاً للتوزيع الجغرافي (ريف - حضر) والنوع (ذكور - إناث) خلال الفترة (٢٠٠٥-٢٠١٤)، ذلك بالإضافة إلى استخدام طريقة انحدار التل ridge regression في معالجة التداخل الخطى بين محددات عالة الأطفال في النموذج المقترن بالفصل (٧) اعتماداً على بيانات الفترة محل الدراسة.

## (٣) مشكلة البحث

تمثل عالة الأطفال واحدة من أبرز التحديات التي تواجه جهود التنمية وحقوق الإنسان، وإن مصر كأحد دول العالم الثالث، ينتشر بها الأطفال العاملين كنتيجة لعدة عوامل مشابكة أهمها: الفقر والبطالة والتعليم وحجم الأسرة وقصور تطبيق القانون. وتشير الدلائل إلى عدم تناقص هذه الظاهرة عبر الزمن بشكل ملحوظ، ومن ثم كان من الضروري الاهتمام بدراسة تفصيلية لمحددات هذه الظاهرة وتكون صورة للظاهرة من حيث حجمها وخصائصها، كما أنه يتطلب لفهم هذه الظاهرة ومعالجتها معرفة أسباب الظاهرة من خلال التطبيق الإحصائي لأهم محددات عالة الأطفال في مصر.

وبالرغم من أن عالة الأطفال يمكن أن تؤدي إلى دخل حيوي يساعد الأسر الفقيرة [٢٠]، كما أن بعض الأطفال يعملون جزء من الوقت من أجل أن يكونوا قادرين على تحمل تكاليف الذهاب إلى المدرسة [١٥]، إلا أن عالة الأطفال ينتج عنها العديد من الآثار السلبية - خاصة على المدى البعيد - سواء على مستوى الطفل نفسه أو على مستوى المجتمع ككل [١، ٨].

ونظراً لتزايد عدد الأطفال العاملين (ذكور - إناث) خلال الفترة محل الدراسة في مصر وما يتربى على ذلك من أضرار بالغة لذلك تتمثل مشكلة الدراسة في:

- دراسة تطور معدلات عالة الأطفال في مصر خلال الفترة (٢٠٠٥-٢٠١٤) وفقاً للتوزيع الجغرافي (ريف وحضر) ووفقاً للتوزيع النوعي (ذكور وإناث) وتحديد الاتجاه العام لهذه المعدلات، وهو ما تم تناوله في الفصل (٤).

- دراسة العلاقة بين معدل عالة الأطفال في مصر وأهم محددات عالة الأطفال كلاً على حدة والمتمثلة في: متوسط دخل الأسرة السنوي، معدل البطالة، متوسط حجم الأسرة، المستوى التعليمي لرب الأسرة، عمر الطفل، نوع الطفل، وفقاً لمحل إقامة الأسرة خلال فترة الدراسة، وهو ما تم تناوله في الفصل (٥).

- دراسة تأثير كل من متوسط دخل الأسرة السنوي، معدل البطالة، متوسط حجم الأسرة، المستوى التعليمي لرب الأسرة، عمر الطفل معاً على معدل عالة الأطفال خلال فترة الدراسة وفقاً للتوزيع الجغرافي (ريف وحضر) ووفقاً للتوزيع النوعي (ذكور وإناث)، وهو ما تم تناوله في الفصل (٦).

#### (٤) تطور عمالة الأطفال في مصر

في هذا الفصل سوف نتناول تطور معدل عمالة الأطفال بالفئات العمرية (٥-١٧ سنة) في مصر خلال الفترة (٢٠٠٥-٢٠١٤) وفقاً للتوزيع الجغرافي (ريف - حضر) ووفقاً للنوع (ذكور - إناث)، ثم تقديم دراسة تحليلية لهذه المعدلات.

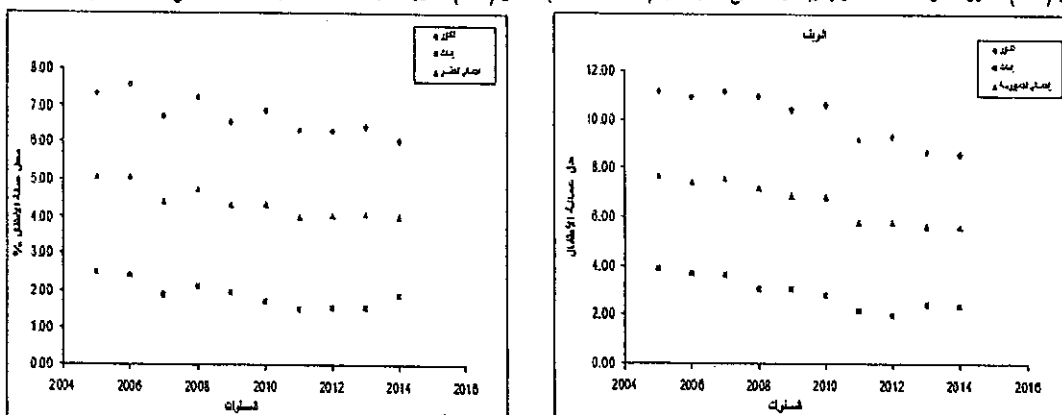
ويستخدم بيانات مسح العمالة بالعينة خلال الفترة (٢٠٠٥-٢٠١٤) تم حساب معدلات عمالة الأطفال في مصر وفقاً للتوزيع الجغرافي (ريف - حضر) ووفقاً للنوع (ذكور - إناث) كما هو موضح بالجدول (٤-١) وعرضها بيانياً بالأشكال (٤-١)، (٤-٢).

جدول (٤-١): معدل عمالة الأطفال في مصر وفقاً للتوزيع الجغرافي (ريف - حضر)  
ووفقاً للنوع (ذكور - إناث) خلال الفترة (٢٠٠٥-٢٠١٤)

السنة	معدلات عمالة الأطفال بالريف			معدلات عمالة الأطفال بالحضر			معدلات عمالة الأطفال بـإجمالي الجمهورية		
	ذكور	إناث	إجمالي الريف	ذكور	إناث	إجمالي الحضر	ذكور	إناث	إجمالي الجمهورية
2005	11.113	3.865	7.671	7.319	2.485	5.046	9.633	3.333	6.652
2006	10.883	3.686	7.434	7.573	2.395	5.077	9.600	3.182	6.517
2007	11.134	3.634	7.538	6.689	1.901	4.381	9.431	2.966	6.325
2008	10.938	3.042	7.188	7.230	2.113	4.737	9.599	2.696	6.290
2009	10.399	3.038	6.878	6.563	1.967	4.316	9.073	2.658	5.980
2010	10.593	2.812	6.841	6.852	1.698	4.344	9.214	2.397	5.916
2011	9.175	2.179	5.796	6.344	1.527	3.997	8.131	1.936	5.129
2012	9.280	1.986	5.792	6.308	1.531	4.047	8.147	1.815	5.131
2013	8.649	2.397	5.663	6.424	1.538	4.054	7.814	2.069	5.053
2014	8.551	2.375	5.606	6.047	1.864	4.019	7.615	2.180	5.007

المصدر: النشرات السنوية لمسح العمالة بالعينة، الجهاز المركزي للتعبئة العامة والإحصاء، مصر.

شكل (٤-١): تطور معدل عمالة الأطفال بالريف وفقاً للنوع خلال الفترة (٢٠٠٥-٢٠١٤) شكل (٤-٢): تطور معدل عمالة الأطفال بالحضر وفقاً للنوع خلال الفترة (٢٠٠٥-٢٠١٤)



حيث يتضح ما يلي:

- ارتفاع معدل عمالة الأطفال الذكور عن الإناث بشكل كبير جداً في الريف وكذلك في الحضر.
- ارتفاع معدل عمالة الأطفال في الريف عن الحضر بشكل كبير.
- أن معدلات عمالة الأطفال في الريف والحضر بصفة عامة تنخفض خلال الفترة (٢٠٠٥-٢٠١٤) بشكل طفيف، وكذلك الحال بالنسبة لمعدلات عمالة الأطفال الإناث والذكور خلال نفس الفترة.

وكما ذكرنا في منهجية البحث وبناءً على أشكال الانتشار (٤-١)، (٤-٢) نجد أن الاتجاه العام لمعدل عمال الأطفال بالريف والحضر في جمهورية مصر العربية لكلاً من الذكور والإثاث يمكن أن يأخذ الاتجاه الأسوي على النحو التالي:

$$G_{ji}(t) = a_{0ji} \cdot e^{a_{1ji}t} \cdot \varepsilon_{ji}(t), \quad i=1,2, \quad j=R, U \quad (4.1)$$

حيث أن:

تشير إلى النوع، حيث أن 1 تشير إلى الذكور، 2 تشير إلى الإناث :  $i$

تشير إلى محل الإقامة، حيث أن  $R$  تشير إلى الريف،  $U$  تشير إلى الحضر :  $j$

تشير إلى معدل عمال الأطفال من النوع ( $i$ ) بمحل الإقامة ( $j$ ) في السنة  $t$  :  $G_{ji}(t)$

تشير إلى معلومات النموذج :  $a_{0ji}, a_{1ji}$

تشير إلى مقدار الخطأ العشوائي لمعدل عمال الأطفال من النوع ( $i$ ) بمحل الإقامة ( $j$ ) في السنة  $t$  :  $\varepsilon_{ji}(t)$

وباستخدام طريقة المربيعات الصغرى (أو الإمكان الأعظم) [19,12] واستخدام حزمة البرامج الإحصائية SPSS V.16 تم الحصول على العلاقة التقديرية على النحو التالي (باعتبار أن سنة ٢٠٠٥ هي سنة الأساس) :

**أولاً: الريف**

$$\hat{G}_{R1}(t) = 11.992 e^{-0.033t} \quad (4.2)$$

Sig. = 0.000 ,  $R^2 = 0.873$  , Std. Error of Estimate = 0.393

$$\hat{G}_{R2}(t) = 4.154 e^{-0.070t} \quad (4.3)$$

Sig. = 0.000 ,  $R^2 = 0.814$  , Std. Error of Estimate = 0.107

ومن (4.2)-(4.3) يتضح أن معدلات عمال الأطفال في الريف لكل من الذكور والإثاث تكون متناقصة مع مرور الزمن ولكن أسرع في الإناث عن الذكور، وفي حالة عدم تغير الظروف الاقتصادية والاجتماعية يمكن استخدام (4.2)-(4.3) في تقدير معدلات عمال الأطفال في الريف وفقاً لنوع.

**ثانياً: الحضر**

$$\hat{G}_{u1}(t) = 7.553 e^{-0.021t} \quad (4.4)$$

Sig. = 0.001 ,  $R^2 = 0.773$  , Std. Error of Estimate = 0.037

$$\hat{G}_{u2}(t) = 2.438 e^{-0.048t} \quad (4.5)$$

Sig. = 0.005 ,  $R^2 = 0.655$  , Std. Error of Estimate = 0.112

وكذلك من (4.4)-(4.5) يتضح أن معدلات عمال الأطفال في الحضر لكل من الذكور والإثاث تكون متناقصة مع مرور الزمن ولكن أسرع في الإناث عن الذكور، وفي حالة عدم تغير الظروف الاقتصادية والاجتماعية يمكن استخدام (4.4)-(4.5) في تقدير معدلات عمال الأطفال في الحضر وفقاً لنوع.

وكذلك يتضح من الاتجاه العام المقدر لكل من عمال الأطفال بالريف والحضر أن معدلات عمال الأطفال في الريف تكون متناقصة مع مرور الزمن أسرع من معدلات عمال الأطفال في الحضر.

### (٥) العلاقة بين معدل عمالة الأطفال في مصر وبعض محدداتها

في هذا الفصل سوف نتناول العلاقة بين معدل عمالة الأطفال في مصر (متغير تابع) وبعض محددات عمالة الأطفال كلاً على حدة (متغيرات مفسرة) والمتمثلة في: متوسط دخل الأسرة السنوي، ومعدل البطالة، ومتعدد حجم الأسرة، والمستوى التعليمي لرب الأسرة، وعمر الطفل.

وباستخدام بيانات مسح العمالة بالعينة خلال الفترة (٢٠١٤-٢٠٠٥) تم حساب المؤشرات التي تمثل المتغيرات التالية: (متوسط دخل الأسرة السنوي بالآلاف جنيه مصرى، ومعدل البطالة بين أفراد قوة العمل، ومتعدد حجم الأسرة، ونسبة الأمية لرب الأسرة) وفقاً للتوزيع الجغرافي (ريف - حضر) كما هو موضح بالجدول التالي (١-٥)

جدول (١-٥): متوسط الدخل السنوي ومعدلات البطالة ومتعدد حجم الأسرة ونسبة الأمية لرب الأسرة وفقاً للتوزيع الجغرافي (الريف والحضر) خلال الفترة (٢٠١٤-٢٠٠٥)

السنة	متوسط الدخل السنوي للأسرة بالآلاف جنيه		معدل البطالة		معدل بطالة الذكور		معدل بطالة الإناث		متوسط حجم الأسرة		نسبة الأمية لرب الأسرة	
	الحضر	الريف	الحضر	الريف	الحضر	الريف	الحضر	الريف	الحضر	الريف	الحضر	الريف
٢٠٠٥	11.08	16.17	9.57	13.17	5.73	8.69	22.02	29.41	4.67	4.08	71.50	52.63
٢٠٠٦	12.69	18.02	8.64	12.97	5.23	8.62	20.62	28.43	4.77	4.12	72.14	53.42
٢٠٠٧	11.08	19.86	6.83	11.59	4.24	7.98	14.68	24.33	4.67	4.15	70.57	51.12
٢٠٠٨	12.69	21.71	6.48	11.63	3.86	7.89	15.89	24.09	4.77	4.19	71.34	52.82
٢٠٠٩	17.51	23.56	6.73	12.95	3.43	7.47	17.79	29.89	5.04	4.22	71.19	51.36
٢٠١٠	19.44	26.88	6.51	12.47	3.15	7.19	17.82	29.17	4.95	4.19	64.79	48.65
٢٠١١	21.37	30.21	8.85	16.26	6.46	11.98	17.26	29.95	4.67	4.11	64.30	49.16
٢٠١٢	24.11	32.60	9.96	16.43	7.04	12.28	20.30	29.37	4.64	4.05	63.86	48.59
٢٠١٣	26.84	35.00	10.79	16.64	7.90	12.44	20.46	29.44	4.60	3.99	63.95	50.18
٢٠١٤	29.58	37.40	11.07	15.97	8.36	11.35	19.87	29.93	4.57	3.92	64.02	49.96

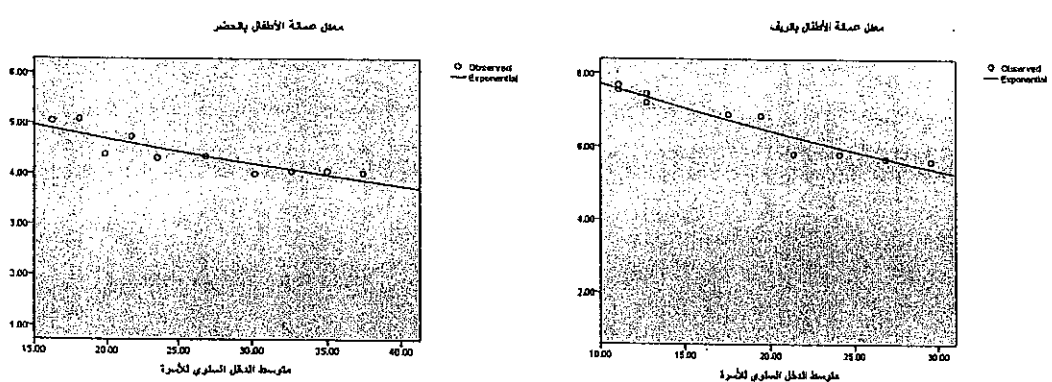
المصدر: النشرات السنوية لمسح العمالة بالعينة، الجهاز المركزي للتعبئة العامة والإحصاء، مصر

#### أولاً: العلاقة بين متوسط دخل الأسرة ومعدل عمالة الأطفال

من بيانات الجدول (١-٤) والجدول (١-٥) يوضح الشكل التالي (١-٥) العلاقة بين متوسط الدخل السنوي للأسرة بالآلاف جنيه مصرى ومعدل عمالة الأطفال في مصر خلال الفترة (٢٠١٤-٢٠٠٥).

شكل (١-٥): العلاقة بين متوسط الدخل السنوي للأسرة بالآلاف جنيه مصرى ومعدل عمالة الأطفال

وفقاً لمحل الإقامة في مصر خلال الفترة (٢٠١٤-٢٠٠٥)



ويتبين من الشكل ما يلي:

- أن اتجاه العلاقة بين متوسط الدخل السنوي للأسرة ومعدل عمالة الأطفال في مصر علاقة عكسية، فكلما ارتفع متوسط الدخل السنوي للأسرة ينخفض معدل عمالة الأطفال والعكس صحيح.

- أن العلاقة بين متوسط الدخل السنوي للأسرة ومعدل عالة الأطفال يمكن أن تأخذ الشكل الأسني على النحو التالي:

$$G_j(t) = b_{0j} \cdot e^{b_{1j} X_{1j}(t)} \cdot \varepsilon_j(t), \quad j = R, U \quad (5.1)$$

حيث أن:

تشير إلى معدل عالة الأطفال بمحل الإقامة (j) في السنة t:  $G_j(t)$

تشير إلى معلمات النموذج:  $b_{0j}, b_{1j}$

تشير إلى متوسط الدخل السنوي للأسرة (بالألف جنيه مصري) بمحل الإقامة (j) في السنة t:  $X_{1j}(t)$

تشير إلى مقدار الخطأ العشوائي لمعدل عالة الأطفال بمحل الإقامة (j) في السنة t:  $\varepsilon_j(t)$

ويستخدم طريقة المربيعات الصغرى أيضاً (أو الإمكان الأعظم) لоценة تدبر معلمات النموذج الأسني السابق (5.1) واستخدام حزمة البرامج الإحصائية SPSS V.16 أمكننا الحصول على نموذج الانحدار الأسني المقدر على النحو التالي:

$$\hat{G}_R(t) = 9.254 e^{-0.018 X_{1R}(t)} \quad (5.2)$$

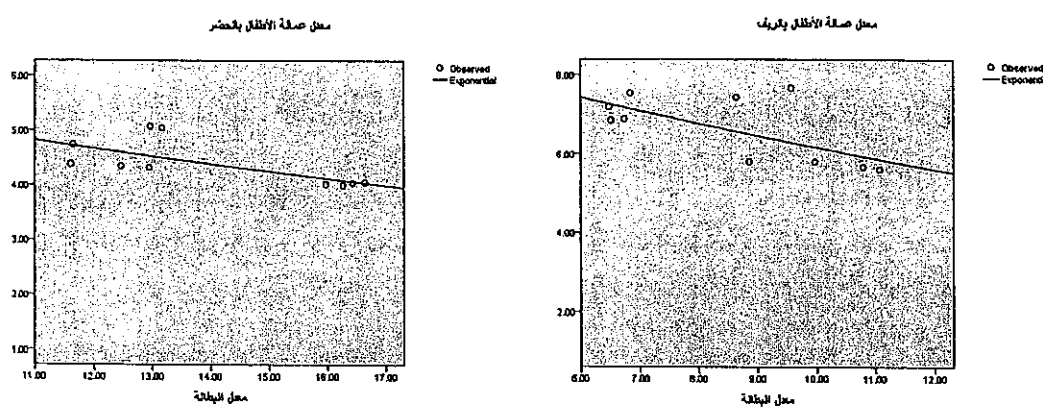
Sig. = 0.000 ,  $R^2 = 0.916$  , Std. Error of Estimate = 0.040

$$\hat{G}_U(t) = 5.851 e^{-0.011 X_{1U}(t)} \quad (5.3)$$

Sig. = 0.001 ,  $R^2 = 0.791$  , Std. Error of Estimate = 0.045

ويستخدم النموذج الأسني المقدر (5.2)-(5.3) يمكن الحصول على القيم التقديرية لمعدل عالة الأطفال في مصر وفقاً للتوزيع الجغرافي (ريف وحضر) عند قيمة معينة لمتوسط الدخل السنوي للأسرة (بالألف جنيه مصري)، وذلك مع افتراض ثبات باقي المحددات الأخرى المؤثرة على معدل عالة الأطفال في مصر [12].

**ثانياً: العلاقة بين معدل البطالة ومعدل عالة الأطفال**  
 من بيانات الجدول (١-٤) والجدول (١-٥) يوضح الشكل (٢-٥) العلاقة بين معدل البطالة بين أفراد قوة العمل ومعدل عالة الأطفال في مصر وفقاً لمحل الإقامة خلال نفس الفترة.  
 شكل (٢-٥): العلاقة بين معدل البطالة ومعدل عالة الأطفال وفقاً لمحل الإقامة في مصر خلال الفترة (٢٠١٤-٢٠٠٥)



ويتضح من الشكل ما يلي:

- الاتجاه العام العلاقة بين معدل البطالة ومعدل عالة الأطفال في مصر تكون علاقة عكسية حيث ينخفض معدل عالة الأطفال بشكل كبير مع تزايد معدل البطالة.

- يمكن أن تكون العلاقة بين معدل عمالة الأطفال في مصر ومعدل البطالة علاقة أسيّة على النحو

التالي:

$$G_j(t) = b_{0j} \cdot e^{b_{1j} X_{2j}(t)} \cdot \varepsilon_j(t), \quad j = R, U \quad (5.4)$$

حيث  $(t)_{j2}$  تشير إلى معدل البطالة بمحل الإقامة ( $j$ ) في السنة  $t$ . ولتقدير معلمات النموذج الأسني السابق باستخدام حزمة البرامج الإحصائية SPSS أمكن الحصول على نموذج الانحدار الأسني المقدر على النحو التالي:

$$\hat{G}_R(t) = 9.832 e^{-0.047 X_{2R}(t)} \quad (5.5)$$

Sig. = 0.039 ,  $R^2 = 0.430$  , Std. Error of Estimate = 0.103

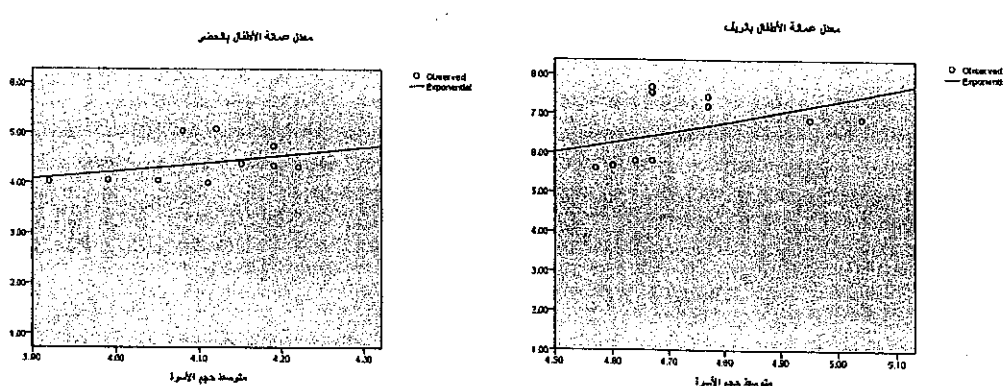
$$\hat{G}_U(t) = 6.788 e^{-0.031 X_{2U}(t)} \quad (5.6)$$

Sig. = 0.024 ,  $R^2 = 0.491$  , Std. Error of Estimate = 0.070

وباستخدام النموذج الأسني المقدر (5.5)-(5.6) يمكن الحصول على القيم التقديرية لمعدل عمالة الأطفال في مصر وفقاً للتوزيع الجغرافي (ريف وحضر) عند قيمة معينة لمعدل البطالة، وذلك مع افتراض ثبات باقي المحددات الأخرى المؤثرة على معدل عمالة الأطفال في مصر.

**ثالثاً:** العلاقة بين متوسط حجم الأسرة ومعدل عمالة الأطفال  
من بيانات الجدول (٤-١) والجدول (٥-٣) يوضح الشكل (٣-٥) العلاقة بين متوسط حجم الأسرة  
ومعدل عمالة الأطفال في مصر خلال نفس الفترة.

شكل (٣-٥): العلاقة بين متوسط حجم الأسرة ومعدل عمالة الأطفال وفقاً لمحل الإقامة في مصر خلال الفترة (٢٠٠٥-٢٠١٤)



ويتضح من الشكل ما يلي:

- أن اتجاه العلاقة بين متوسط حجم الأسرة ومعدل عمالة الأطفال في مصر تكون علاقة طردية حيث يزداد معدل عمالة الأطفال في مصر مع تزايد متوسط حجم الأسرة، والعكس صحيح.
- يمكن أن تكون العلاقة الأسنيّة بين متوسط حجم الأسرة ومعدل عمالة الأطفال في مصر على النحو

التالي:

$$G_j(t) = b_{0j} \cdot e^{b_{1j} X_{3j}(t)} \cdot \varepsilon_j(t), \quad j = R, U \quad (5.7)$$

حيث  $\hat{X}_{jR}(t)$  تشير إلى متوسط حجم الأسرة بمحل الإقامة (ج) في السنة t، ولتقدير معلمات النموذج الأسني السابق باستخدام حزمة البرامج الإحصائية SPSS. أمكننا الحصول على نموذج الانحدار الأسني المقدر وقد وجد أن الحد القاطع (الثابت)  $b_0$  المقدر غير معنوي، لذا تم تقدير النموذج بدون الحد القاطع (الثابت)  $b_0$  بحيث أصبح نموذج الانحدار الأسني المقدر على النحو التالي:

$$\hat{G}_R(t) = e^{0.398 \hat{X}_{jR}(t)} \quad (5.8)$$

Sig. = 0.000 , R<sup>2</sup> = 0.997 , Std. Error of Estimate = 0.116

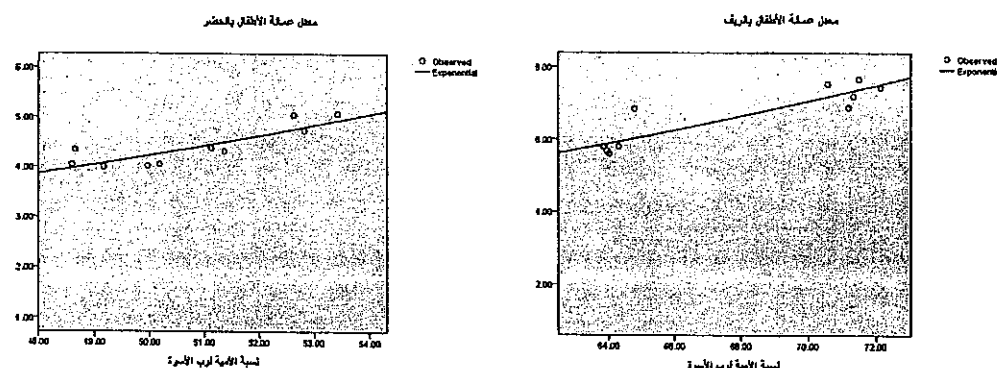
$$\hat{G}_U(t) = e^{0.360 \hat{X}_{jU}(t)} \quad (5.9)$$

Sig. = 0.000 , R<sup>2</sup> = 0.997 , Std. Error of Estimate = 0.084

وباستخدام النموذج الأسني المقدر (5.9)-(5.8) يمكن الحصول على القيم التقديرية لمعدل عماله الأطفال في مصر وفقاً للتوزيع الجغرافي (ريف وحضر) عند قيمة معينة لمتوسط حجم الأسرة، وذلك مع افتراض ثبات باقي المحددات الأخرى المؤثرة على معدل عماله الأطفال في مصر.

رابعاً: العلاقة بين المستوى التعليمي لرب الأسرة ومعدل عماله الأطفال من بيانات الجدول (٤-١) والجدول (٤-٥) يوضح الشكل (٤-٥) العلاقة بين نسبة الأمية لرب الأسرة ومعدل عماله الأطفال في مصر وفقاً لمحل الإقامة خلال الفترة (٢٠١٤-٢٠٠٥).

شكل (٤-٥): العلاقة بين نسبة الأمية لرب الأسرة ومعدل عماله الأطفال وفقاً لمحل الإقامة في مصر خلال الفترة (٢٠١٤-٢٠٠٥)



ويتبين من الشكل ما يلي:

- أن اتجاه العلاقة بين نسبة الأمية لرب الأسرة ومعدل عماله الأطفال في مصر تكون علاقة طردية حيث يزداد معدل عماله الأطفال في مصر مع تزايد نسبة الأمية لرب الأسرة، والعكس صحيح.
- يمكن أن تأخذ العلاقة بين نسبة الأمية لرب الأسرة ومعدل عماله الأطفال في مصر الشكل الأسني على النحو التالي:

$$G_j(t) = b_{0j} \cdot e^{b_{1j} X_{4j}(t)} \quad j = R, U \quad (5.10)$$

حيث  $X_{4j}(t)$  تشير إلى نسبة الأمية لرب الأسرة بمحل الإقامة (ج) في السنة t، ولتقدير معلمات النموذج الأسني السابق باستخدام حزمة البرامج الإحصائية SPSS. أمكننا الحصول على نموذج الانحدار الأسني المقدر على النحو التالي:

$$\hat{G}_R(t) = 0.843 e^{0.030 X_{4R}(t)} \quad (5.11)$$

Sig. = 0.000 , R<sup>2</sup> = 0.806 , Std. Error of Estimate = 0.060

$$\hat{G}_U(t) = 0.447 e^{0.045 X_{4U}(t)} \quad (5.12)$$

Sig. = 0.001 , R<sup>2</sup> = 0.742 , Std. Error of Estimate = 0.050

وباستخدام النموذج الأسني المقدر (5.11)-(5.12) يمكن الحصول على القيم التقديرية لمعدل عماله الأطفال في مصر وفقاً للتوزيع الجغرافي (ريف وحضر) عند قيمة معينة لنسبة الأممية لرب الأسرة، وذلك مع افتراض ثبات باقي المحددات الأخرى المؤثرة على معدل عماله الأطفال في مصر.

#### خامساً: العلاقة بين عمر الطفل ومعدل عماله الأطفال

يعتبر عمر الطفل متغير وصفي ترتيبى، ويمكن تحويله إلى متغير كمى من خلال إعطاء الأكواذ 1,2,3 للغات العمارة (١٦-١٤), (١٥-١٧), (١٢-١٤) على التوالي.

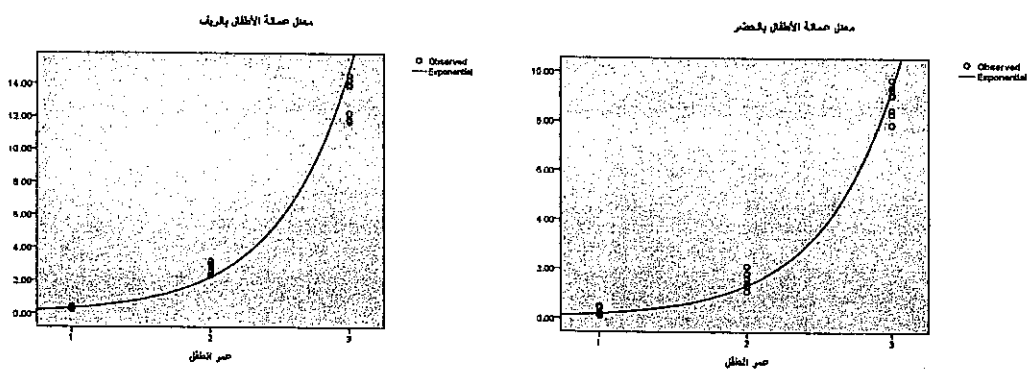
ويوضح الجدول التالي (٢-٥) العلاقة بين عمر الطفل (الفئة العمرية التي ينتمي إليها الطفل) ومعدل عماله الأطفال في مصر وفقاً لمحل الإقامة (ريف وحضر) خلال الفترة (٢٠١٤-٢٠٠٥).

جدول (٢-٥): معدلات عماله الأطفال في مصر وفقاً لعمر الطفل ومحل الإقامة (ريف وحضر) خلال الفترة (٢٠١٤-٢٠٠٥)

السنة	الفئة	عمر			محل الإقامة			أجنبى الجنسية		
		(٦-١٢)	(١٢-١٥)	(١٥-١٧)	(٦-١٢)	(١٢-١٥)	(١٥-١٧)	(٦-١٢)	(١٢-١٥)	(١٥-١٧)
2005	نوع	0.149	2.609	13.378	0.406	5.083	19.830	0.305	4.148	17.286
	الريف	0.001	0.221	4.896	0.026	0.624	7.772	0.016	0.473	6.634
	الحضر	0.079	1.486	9.389	0.225	2.937	14.180	0.168	2.383	12.287
2006	نوع	0.314	3.200	13.557	0.508	5.265	19.857	0.433	4.481	17.350
	الريف	0.036	0.293	4.706	0.159	0.944	7.273	0.111	0.700	6.237
	الحضر	0.179	1.817	9.293	0.340	3.187	13.867	0.278	2.670	12.034
2007	نوع	0.224	2.646	12.603	0.594	4.728	20.418	0.451	3.946	17.432
	الريف	0.043	0.112	3.954	0.247	1.543	7.114	0.169	1.012	5.841
	الحضر	0.137	1.419	8.437	0.426	3.171	14.301	0.314	2.517	12.003
2008	نوع	0.183	2.425	14.311	0.484	4.056	21.566	0.375	3.479	18.913
	الريف	0.014	0.166	4.663	0.114	1.021	6.347	0.077	0.704	5.706
	الحضر	0.101	1.301	9.682	0.307	2.600	14.507	0.231	2.130	12.709
2009	نوع	0.244	2.003	13.399	0.400	3.929	20.943	0.346	3.281	18.314
	الريف	0.001	0.173	4.412	0.085	0.606	6.950	0.055	0.455	6.009
	الحضر	0.125	1.098	9.037	0.247	2.328	14.489	0.204	1.907	12.532
2010	نوع	0.364	2.807	14.213	0.651	5.049	21.209	0.544	4.238	18.641
	الريف	0.069	0.277	3.739	0.082	0.783	6.132	0.077	0.598	5.229
	الحضر	0.221	1.584	9.061	0.375	3.003	13.957	0.318	2.487	12.136
2011	نوع	0.614	2.777	12.305	0.422	4.610	18.385	0.493	3.944	16.102
	الريف	0.230	0.447	3.076	0.153	0.881	4.597	0.182	0.725	4.015
	الحضر	0.425	1.643	7.859	0.292	2.783	11.852	0.342	2.370	10.338
2012	نوع	0.617	3.505	12.833	0.509	4.991	18.236	0.552	4.457	16.244
	الريف	0.374	0.709	2.712	0.082	0.705	4.389	0.189	0.706	3.731
	الحضر	0.507	2.119	7.863	0.301	2.960	11.789	0.380	2.650	10.297
2013	نوع	0.273	2.835	12.971	0.439	4.115	17.326	0.376	3.645	15.678
	الريف	0.066	0.349	3.336	0.032	0.713	5.342	0.045	0.576	4.558
	الحضر	0.172	1.627	8.314	0.243	2.493	11.690	0.216	2.172	10.393
2014	نوع	0.325	2.436	12.427	0.375	3.992	17.668	0.356	3.420	15.679
	الريف	0.001	0.159	4.284	0.069	0.530	5.773	0.043	0.391	5.165
	الحضر	0.168	1.332	8.460	0.226	2.341	12.230	0.204	1.967	10.749

المصدر: النشرات السنوية لمسوح العمالات بالعينة، الجهاز المركزي للتعبئة العامة والإحصاء، مصر.

شكل (٥-٥): العلاقة بين عمر الطفل ومعدل عماله الأطفال وفقاً لمحل الإقامة في مصر خلال الفترة (٢٠٠٥-٢٠١٤)



ويتضح من الشكل ما يلي:

- أن اتجاه العلاقة بين عمر الطفل ومعدل عماله الأطفال في مصر تكون علاقة طردية حيث يزداد معدل عماله الأطفال في مصر مع تزايد عمر الطفل والعكس صحيح.
- يمكن أن تأخذ العلاقة بين عمر الطفل ومعدل عماله الأطفال في مصر الشكل الأسني على النحو التالي:

$$G_j(t) = b_{0j} \cdot e^{b_{1j} X_{5aj}(t)} \cdot \varepsilon_j(t), \quad j = R, U \quad (5.13)$$

حيث  $X_{5aj}(t)$  تشير إلى معدل عماله الأطفال بالفئة العمرية (a) بمحل الإقامة (j) في السنة t. ويتقدير معلمات النموذج بنفس طرق التقدير نجد أن:

$$\hat{G}_R(t) = 0.049 e^{1.907 X_{5aR}(t)} \quad (5.14)$$

Sig. = 0.000 , R<sup>2</sup> = 0.981 , Std. Error of Estimate = 0.224

$$\hat{G}_U(t) = 0.027 e^{1.943 X_{5aU}(t)} \quad (5.15)$$

Sig. = 0.000 , R<sup>2</sup> = 0.953 , Std. Error of Estimate = 0.363

وباستخدام النموذج الأسني المقدر (5.14)-(5.15) يمكن الحصول على القيم التقديرية لمعدل عماله الأطفال في مصر وفقاً للتوزيع الجغرافي (ريف وحضر) ووفقاً لعمر الطفل (الفئة العمرية التي ينتمي إليها الطفل)، وذلك مع افتراض ثبات باقي المحددات الأخرى المؤثرة على معدل عماله الأطفال في مصر.

## (٦) نموذج مقترب

من دراسة العلاقة بين معدل عماله الأطفال في مصر وكل محدد من المحددات السابقة على حدة في الفصل السابق فإنه يمكن افتراض أن العلاقة بين معدل عماله الأطفال والمحددات التالية: (متوسط دخل الأسرة السنوي، معدل البطالة، متوسط حجم الأسرة، نسبة الأمية لرب الأسرة، العمر الوسيط للطفل) علاقة أسيّة على النحو التالي:

$$G_{ji}(t) = \beta_{0ji} \cdot e^{\sum_{k=1}^5 \beta_{kji} X_{kji}(t)} \cdot \varepsilon_{ji}, \quad k = 1, 2, \dots, 5 \quad (6.1)$$

حيث أن:

تشير إلى النوع، حيث أن 1 تشير إلى الذكور، 2 تشير إلى الإناث : i

تشير إلى محل الإقامة، حيث أن R تشير إلى الريف، U تشير إلى الحضر : j

تشير إلى عدد المتغيرات المستقلة بالنموذج، حيث  $k = 1, 2, 3, 4, 5$  : k

تشير إلى معدل عالة الأطفال من النوع (i) بمحل الإقامة (j) في السنة t :  $G_{ji}(t)$

تشير إلى معلمات النموذج :  $\beta_{0ji}, \beta_{1ji}, \dots, \beta_{5ji}$

تشير إلى متوسط الدخل السنوي للأسرة الفقيرة (بالألف جنيه مصرى) للنوع (i) :  $X_{1ji}(t)$   
بمحل الإقامة (j) في السنة t

تشير إلى معدل البطالة للنوع (i) بمحل الإقامة (j) في السنة t :  $X_{2ji}(t)$

تشير إلى متوسط حجم الأسرة للنوع (i) بمحل الإقامة (j) في السنة t :  $X_{3ji}(t)$

تشير إلى نسبة الأمية لرب الأسرة للنوع (i) بمحل الإقامة (j) في السنة t :  $X_{4ji}(t)$

تشير إلى العمر الوسيط للطفل للنوع (i) بمحل الإقامة (j) في السنة t :  $X_{5ji}(t)$

تشير إلى مقدار الخطأ العشوائي لمعدل عالة الأطفال من النوع (i) بمحل الإقامة :  $\epsilon_{ji}(t)$   
(j) في السنة t، حيث أن  $\sim n(0, \sigma^2)$

وباستخدام أسلوب تحليل الانحدار المتعدد يمكن الحصول على أفضل تقدير للمعلمات  $\beta$ 's (سواء باستخدام طريقة المربيعات الصغرى OLS أو باستخدام طريقة الإمكان الأعظم ML) وتطبيق النموذج المقترن على بيانات مسح العماله بالعينة وفقاً للتوزيع الجغرافي (ريف وحضر) ووفقاً للنوع (ذكور وإناث) والموضحة بالجدول (٤-١)، (٥-١)، (٦-٢) على النحو التالي.

### أولاً: الريف

فيما يلي تطبيق نموذج الانحدار على بيانات الريف (ذكور - إناث) على النحو التالي:

$$\hat{G}_{R1}^*(t) = e^{-0.588X_1^*(t)-0.361X_2^*(t)-0.041X_3^*(t)+0.248X_4^*(t)-0.151X_5^*(t)} \quad (6.2)$$

$$\hat{G}_{R2}^*(t) = e^{-0.649X_1^*(t)-0.166X_2^*(t)-0.157X_3^*(t)+0.270X_4^*(t)+0.401X_5^*(t)} \quad (6.3)$$

وباختبار كلا النموذجين نجد أن النموذج ككل معنوي في حين أن المتغيرات المستقلة تكون غير معنوية، كما أنه يوجد تناقض في إشارات المعاملات، وكذلك بحساب معاملات الارتباط بين كل متغيرين من المتغيرات المفسرة وجد ارتباط بينهم سواء طردي أو عكسي، وهذا يشير إلى ظهور مشكلة التداخل الخطى المتعدد multicollinearity.

والجدول التالي يوضح مؤشرات التداخل الخطى التي تم حسابها وهي: قيم عوامل التضخم (VIF)، القيم المميزة لمصفوفة المعلومات القياسية ( $\lambda$ )، قيم المؤشر الشرطي ( $\eta$ ).

جدول (٦-١): قيم عوامل التضخم والقيم المميزة وقيم المؤشر الشرطي لنموذج الريف

نموذج الذكور بالريف $G_{R1}$			نموذج الإناث بالريف $G_{R2}$		
قيمة عوامل التضخم (VIF)	قيمة المميزة $\lambda$	قيمة المؤشر الشرطي $\eta$	قيمة عوامل التضخم (VIF)	قيمة المميزة $\lambda$	قيمة المؤشر الشرطي $\eta$
VIF <sub>1</sub> = 20.615	$\lambda_1 = 3.425$	$\eta_1 = 1.000$	VIF <sub>1</sub> = 16.607	$\lambda_1 = 2.272$	$\eta_1 = 1.000$
VIF <sub>2</sub> = 16.705	$\lambda_2 = 1.063$	$\eta_2 = 1.795$	VIF <sub>2</sub> = 13.405	$\lambda_2 = 1.664$	$\eta_2 = 1.169$
VIF <sub>3</sub> = 9.395	$\lambda_3 = 0.417$	$\eta_3 = 2.866$	VIF <sub>3</sub> = 1.786	$\lambda_3 = 0.826$	$\eta_3 = 1.659$
VIF <sub>4</sub> = 20.973	$\lambda_4 = 0.077$	$\eta_4 = 6.671$	VIF <sub>4</sub> = 17.011	$\lambda_4 = 0.017$	$\eta_4 = 11.561$
VIF <sub>5</sub> = 5.428	$\lambda_5 = 0.018$	$\eta_5 = 13.911$	VIF <sub>5</sub> = 3.881	$\lambda_5 = 0.007$	$\eta_5 = 18.016$

### ثانياً: الحضر

فيما يلي تطبيق نموذج الانحدار على بيانات الحضر (ذكور - إناث) على النحو التالي:

$$\hat{G}_{U1}^*(t) = e^{-0.107 X_1^*(t)-0.468 X_2^*(t)+0.023 X_3^*(t)+0.945 X_4^*(t)-0.540 X_5^*(t)} \quad (6.4)$$

$$\hat{G}_{U2}^*(t) = e^{-0.623 X_1^*(t)+0.152 X_2^*(t)-0.248 X_3^*(t)+0.415 X_4^*(t)+0.219 X_5^*(t)} \quad (6.5)$$

وكذلك باختبار كلا النموذجين نجد أن النموذج ككل معنوي في حين أن المتغيرات المستقلة تكون غير معنوية، كما أنه يوجد تناقض في إشارات المعاملات، وكذلك بحساب معاملات الارتباط بين كل متغيرين من المتغيرات المفسرة وجد ارتباط بينهم سواء طردي أو عكسي، وهذا يشير إلى ظهور مشكلة التداخل الخطى المتعدد .multicollinearity

والجدول التالي يوضح مؤشرات التداخل الخطى التي تم حسابها وهي: قيم عوامل التضخم (VIF)، القيم المميزة لمصفوفة المعلومات القياسية ( $\lambda$ )، قيم المؤشر الشرطي ( $\eta$ ).

جدول (٦-٢): قيم عوامل التضخم والقيم المميزة وقيم المؤشر الشرطي لنموذج الحضر

نموذج الذكور بالحضر			نموذج الإناث بالحضر		
قيمة عوامل التضخم (VIF)	قيمة المميزة $\lambda$	قيمة المؤشر الشرطي $\eta$	قيمة عوامل التضخم (VIF)	قيمة المميزة $\lambda$	قيمة المؤشر الشرطي $\eta$
VIF <sub>1</sub> = 18.777	$\lambda_1 = 3.552$	$\eta_1 = 1.000$	VIF <sub>1</sub> = 15.254	$\lambda_1 = 2.870$	$\eta_1 = 1.000$
VIF <sub>2</sub> = 9.019	$\lambda_2 = 0.943$	$\eta_2 = 1.941$	VIF <sub>2</sub> = 1.390	$\lambda_2 = 0.995$	$\eta_2 = 1.699$
VIF <sub>3</sub> = 4.332	$\lambda_3 = 0.363$	$\eta_3 = 3.126$	VIF <sub>3</sub> = 2.530	$\lambda_3 = 0.361$	$\eta_3 = 2.134$
VIF <sub>4</sub> = 18.188	$\lambda_4 = 0.044$	$\eta_4 = 8.998$	VIF <sub>4</sub> = 14.447	$\lambda_4 = 0.046$	$\eta_4 = 7.991$
VIF <sub>5</sub> = 6.773	$\lambda_5 = 0.014$	$\eta_5 = 15.928$	VIF <sub>5</sub> = 1.780	$\lambda_5 = 0.017$	$\eta_5 = 12.993$

### (٧) معالجة الارتباط الخطى المتعدد

من دراسة مؤشرات التداخل الخطى الموضحة بالجدول (٦-١)، وجداً أن نماذج معدلات عماله الأطفال في مصر وفقاً للتوزيع الجغرافي (ريف وحضر) ووفقاً للنوع (ذكور وإناث) تعانى من مشكلة التداخل الخطى المتعدد multicollinearity بين المتغيرات المفسرة التي تمثل المحددات، فيما يلي سوف نتناول معالجة أثر التداخل الخطى باستخدام طريقة انحدار الثل ridge regression [3, 14, 13] على النحو التالي:

تم حساب قيمة معلمة الثل  $d_{G_{ji}}$  بالاعتماد على صيغة Hoerl and Kennard claimed حيث أن [14]:

$$d_{G_{ji}} = \frac{P\hat{\sigma}^2}{\alpha'\alpha} \quad (7.1)$$

$P$  تمثل عدد المتغيرات المفسرة وهي (5)،  $\hat{\beta}^2$  تمثل متوسط مربعات الأخطاء،  $\alpha$  عبارة عن  $\hat{\beta}_{ols}$  حيث  $M$  تشير إلى مصفوفة المتجهات المميزة،  $\hat{\beta}_{ols}$  تشير إلى مقدرات المربعات الصغرى.

وقد تم حساب قيمة معلمة التل لنماذج معدلات عمالة الأطفال وفقاً لمحل الإقامة والنوع كما يلي:

$$d_{G_{R1}} = 0.49, \quad d_{G_{R2}} = 0.77, \quad d_{G_{U1}} = 0.53, \quad d_{G_{U2}} = 0.69$$

وبالتالي تم حساب قيم مقدرات أنحدار التل من  $\hat{\beta}_{G_{ji}}$  البيانات السابقة باستخدام العلاقة التالية:

$$\hat{\beta}_{G_{ji}} = \left( X' X + d_{G_{ji}} I \right)^{-1} \left( X' Y \right) \quad (7.2)$$

وقد تم الحصول على مقدرات أنحدار التل لمعلمات النماذج المقترحة في (6.5)-(6.2) وفقاً للتوزيع الجغرافي ووفقاً للنوع كما يلي.

#### أولاً: الريف

$$\hat{G}_{R1}(t) = e^{-0.287 X_1(t) - 0.214 X_2(t) + 0.072 X_3(t) + 0.194 X_4(t) + 0.055 X_5(t)} \quad (7.3)$$

$$\hat{G}_{R2}(t) = e^{-0.296 X_1(t) - 0.007 X_2(t) + 0.031 X_3(t) + 0.297 X_4(t) + 0.114 X_5(t)} \quad (7.4)$$

والجدول التالي يوضح تأثير الفرق بين تقديرات المربعات الصغرى وتقديرات التل على الأخطاء المعيارية للمعلمات في كل نموذج.

جدول (٧-١): قيم مقدرات المربعات الصغرى ومقدرات التل وأخطائهما المعيارية لنموذج الريف

نموذج الذكور بالريف		نموذج الإناث بالريف					
المعلمات المقدرة	مقدرات المربعات الصغرى	مقدرات التل		المعلمات المقدرة	مقدرات المربعات الصغرى	مقدرات التل	
المعلمات المقدرة	الأخطاء المعيارية	المعلمات المقدرة	الأخطاء المعيارية	المعلمات المقدرة	الأخطاء المعيارية	المعلمات المقدرة	الأخطاء المعيارية
$\hat{\beta}_1 = -0.588$	0.354	$\hat{\beta}_1 = -0.287$	0.087	$\hat{\beta}_1 = -0.649$	0.410	$\hat{\beta}_1 = -0.296$	0.091
$\hat{\beta}_2 = -0.361$	0.318	$\hat{\beta}_2 = -0.214$	0.083	$\hat{\beta}_2 = -0.166$	0.294	$\hat{\beta}_2 = -0.007$	0.002
$\hat{\beta}_3 = -0.041$	0.239	$\hat{\beta}_3 = 0.072$	0.019	$\hat{\beta}_3 = -0.157$	0.213	$\hat{\beta}_3 = 0.031$	0.012
$\hat{\beta}_4 = 0.248$	0.357	$\hat{\beta}_4 = 0.194$	0.075	$\hat{\beta}_4 = 0.270$	0.423	$\hat{\beta}_4 = 0.297$	0.090
$\hat{\beta}_5 = -0.151$	0.181	$\hat{\beta}_5 = 0.055$	0.019	$\hat{\beta}_5 = 0.401$	0.314	$\hat{\beta}_5 = 0.114$	0.010

ويلاحظ من الجدول (٧-١) حدوث انخفاض كبير في الأخطاء المعيارية لمقدرات التل مقارنة بالأخطاء المعيارية لمقدرات المربعات الصغرى، كما أنه لا يوجد تناقض في إشاراتمعاملات عند استخدام انحدار التل.

وبالتالي فإن النماذج (7.3)-(7.4) لا تعاني من مشكلة التداخل الخطى المتعدد، ويمكن استخدامهم للحصول على القيم التقديرية لمعدل عمالة الأطفال في الريف وفقاً للنوع (ذكور وإناث) باستخدام قيم المحددات المختلفة التي يشملها النموذج وافتراض عدم تغير الظروف. وتكون تلك النماذج في المتغيرات الأصلية على النحو التالي [21]:

$$\hat{G}_{R1}(t) = e^{-0.013 X_1(t) - 0.015 X_2(t) + 0.029 X_3(t) + 0.002 X_4(t) + 0.150 X_5(t)} \quad (7.5)$$

$$\hat{G}_{R2}(t) = e^{-0.036 X_1(t) - 0.013 X_2(t) + 0.052 X_3(t) + 0.017 X_4(t) + 0.036 X_5(t)} \quad (7.6)$$

**ثانياً: الحضر**

$$\hat{G}_{U1}^*(t) = e^{-0.235 X_1^*(t)-0.107 X_2^*(t)+0.092 X_3^*(t)+0.265 X_4^*(t)-0.073 X_5^*(t)} \quad (7.7)$$

$$\hat{G}_{U2}^*(t) = e^{-0.253 X_1^*(t)-0.008 X_2^*(t)+0.012 X_3^*(t)+0.296 X_4^*(t)+0.192 X_5^*(t)} \quad (7.8)$$

والجدول التالي يوضح تأثير الفرق بين تقديرات المربعات الصغرى وتقديرات التل على الأخطاء المعيارية للمعلمات في كل نموذج.

جدول (٢-٧): قيم مقدرات المربعات الصغرى ومقدرات التل وأخطائها المعيارية لنماذج الحضر

نموذج الذكور بالحضر				نموذج الإناث بالحضر			
مقدرات المربعات الصغرى		مقدرات التل		مقدرات المربعات الصغرى		مقدرات التل	
المعلمات المقدرة	الأخطاء المعيارية						
$\hat{\beta}_1 = -0.107$	0.461	$\hat{\beta}_1 = -0.235$	0.027	$\hat{\beta}_1 = -0.623$	.295	$\hat{\beta}_1 = -0.253$	0.047
$\hat{\beta}_2 = -0.468$	0.467	$\hat{\beta}_2 = -0.107$	0.028	$\hat{\beta}_2 = 0.152$	.152	$\hat{\beta}_2 = -0.008$	0.003
$\hat{\beta}_3 = 0.023$	0.324	$\hat{\beta}_3 = 0.092$	0.029	$\hat{\beta}_3 = -0.248$	.205	$\hat{\beta}_3 = 0.012$	0.004
$\hat{\beta}_4 = 0.945$	0.445	$\hat{\beta}_4 = 0.265$	0.034	$\hat{\beta}_4 = 0.415$	.271	$\hat{\beta}_4 = 0.296$	0.050
$\hat{\beta}_5 = -0.540$	0.405	$\hat{\beta}_5 = 0.073$	0.025	$\hat{\beta}_5 = 0.219$	.172	$\hat{\beta}_5 = 0.192$	0.057

ويلاحظ من الجدول (٢-٧) حدوث انخفاض كبير في الأخطاء المعيارية لمقدرات التل مقارنة بالأخطاء المعيارية لمقدرات المربعات الصغرى، كما أنه لا يوجد تناقض في إشارات المعاملات عند استخدام انحدار التل.

وبالتالي فإن النماذج (7.7)-(7.8) لا تعاني من مشكلة التداخل الخطى المتعدد، ويمكن استخدامهم للحصول على القيم التقديرية لمعدل عالة الأطفال في الحضر وفقاً لنوع (ذكور وإناث) باستخدام قيم المحددات المختلفة التي يشملها النموذج وافتراض عدم تغير الظروف. وتكون تلك النماذج في المتغيرات الأصلية على

النحو التالي [21]:

$$\hat{G}_{U1}(t) = e^{-0.016 X_1(t)-0.019 X_2(t)+0.047 X_3(t)+0.013 X_4(t)+0.105 X_5(t)} \quad (7.9)$$

$$\hat{G}_{U2}(t) = e^{-0.016 X_1(t)-0.001 X_2(t)+0.020 X_3(t)+0.017 X_4(t)+0.014 X_5(t)} \quad (7.10)$$

**(٨) أهم النتائج**

مما سبق يمكن إيجاز أهم النتائج التي تم التوصل إليها في هذا البحث على النحو التالي:

أولاً: ١- دراسة تطور معدلات عالة الأطفال في مصر وفقاً لمحل الإقامة (ريف وحضر) ووفقاً لنوع (ذكور وإناث) خلال الفترة (٢٠١٤-٢٠٠٥)، والتي أكدت أن هذه المعدلات مازالت متزايدة في مصر.

٢- تقدير معدلات الاتجاه العام لكل من: معدل عالة الأطفال الذكور بالريف، معدل عالة الأطفال الإناث بالريف، معدل عالة الأطفال الذكور بالحضر، معدل عالة الأطفال الإناث بالحضر.

ثانياً: دراسة العلاقة بين معدل عالة الأطفال خلال الفترة (٢٠١٤-٢٠٠٥) وبعض محددات عالة الأطفال كل على حدة والمتمثلة في: (متوسط دخل الأسرة الفقيرة السنوي، معدل البطالة، متوسط حجم الأسرة الفقيرة، المستوى التعليمي لرب الأسرة، عمر الطفل) وفقاً لمحل إقامة الأسرة (ريف وحضر).

- [٦] صندوق حماية الطفل الوكالة الكندية (٢٠٠٩): "عماله الأطفال... بين واقع ومستقبل التنمية في مصر" منتدى الحوار والمشاركة من أجل التنمية، برنامج التنمية بالمشاركة- صندوق حماية الطفل الوكالة الكندية.
- [٧] مفید الشامی، وختم ابو عطیة (٢٠٠٢): "عماله الأطفال في فلسطين- دراسة تحلیلیة" مجلة جامعة النجاح للأبحاث (العلوم الإنسانية) المجلد ١٦، العدد ١، ص ص ١٤٥-١٨٧.
- [٨] منظمة العمل الدولية، منظمة الأمم المتحدة للطفولة (٢٠١٢): "دراسة وطنية حول أسوأ أشكال عمل الأطفال في الجمهورية السورية" بيروت، لبنان
- [٩] می مختار على جاد الله (١٩٩٥): "محددات عماله الاطفال في مصر" رسالة ماجستير، قسم الإحصاء، كلية الاقتصاد والعلوم السياسية - جامعة القاهرة.

#### ثانياً: المراجع الأجنبية

- [10] Awan, M.S.; Waqas,M. and Aslam, M.A. (2011): "Why do Parents Make Their Children Work? Evidence from Multiple Indicator Cluster Survey" Department of Economics, University of Sargodha, Pakistan.
- [11] Burki, A.A; Fasih, T. and Din, M. (1998): "Non-Leisure Time Allocation for Children and Determinants of Child Labour in Punjab, Pakistan" the Pakistan Development Review, Vol.37, No.4, Part II, PP.899-914
- [12] Dielman, T. E. (2005): "Applied Regression Analysis" Fourth Edition, Thomson Learning Inc., USA.
- [13] Eldereny, M. and Rashwan, N. I. (2011): "Solving Multicollinearity Problem Using Ridge Regression Models" Int. J. Contemp. Math. Sciences, Vol. 6, No. 12, PP. 585-600.
- [14] Fitrianto, A. and Yik, L. C. (2014): " Performance Of Ridge Regression Estimator Methods On Small Sample Size By Varying Correlation Coefficients: A Simulation Study" Journal of Mathematics and Statistics 10 (1): 25-29.
- [15] Fors, H.C. (2012): "Child Labour: A Review Of Recent Theory And Evidence With Policy Implications" Journal of Economic Surveys (2012) Vol. 26, No. 4, pp. 570–593
- [16] Huebler, F. (2008): "Child labour and school attendance: Evidence from MICS and DHS surveys" UNICEF, Madrid.
- [17] International Labour Office (2010): "Accelerating action against child labour", Global Report under the follow-up to the ILO Declaration on Fundamental Principles and Rights at Work , Geneva.
- [18] International Labour Office (2013): "Making Progress against child labour", Geneva.

- [19] Kleinbaum, D.G.; Kupper, L.L.; Muller, K.E. and Nizam, A. (1998): "Applied Regression Analysis and Other Multivariable Methods" 3<sup>rd</sup> Edition International Thomson Publishing Inc., USA.
- [20] Krolkowski, P. M. (2007): "Poverty and Religion: An Investigation into Child Labor In Ghana" Stanford University
- [21] Kutner, M.H.; Nachtsheim, C.J. and Neter, J. (2004): "Applied Linear Regression Models" International Edition, McGraw Hill, New York.
- [22] Psacharopoulos, G. (1997): " Child Labor versus Educational Attainment Some Evidence from Latin America" Journal of Population Economics, Vol. 10, No. 4, pp. 377-386
- [23] Saleh, E.M. (2006): "Child Labour in Metropolitan Governorates, Egypt 2001" MSC. Thesis, Cairo Demographic Center, Cairo.
- [24] Wahba, J. (2000): "Do Market Wages Influence Child Labour and Child Schooling?" Social Protection Discussion Paper Series, No.0024, Social Protection Unit, Human Development Network, The World Bank.

